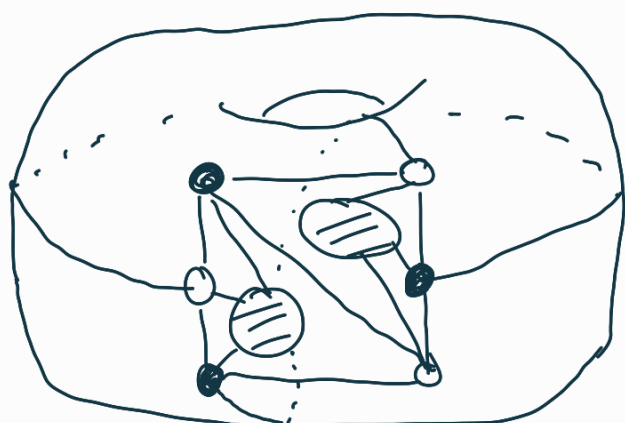
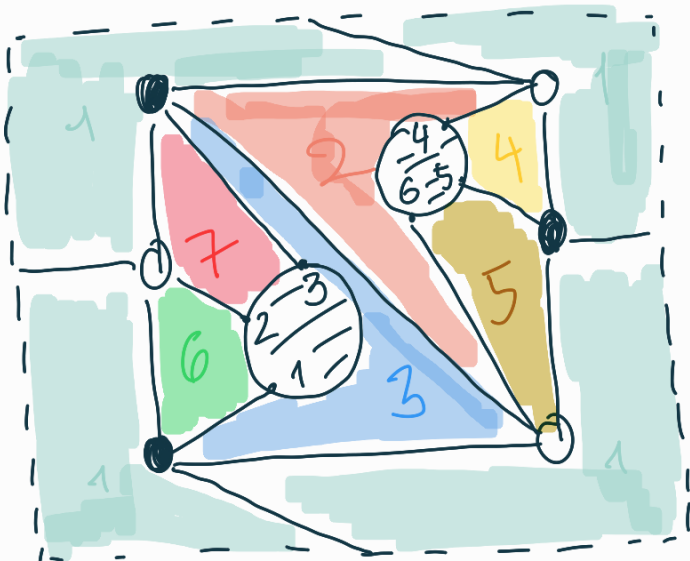


Observaciones:

- Gráficas plásticas devienen una estructura de conglomerado a través de sus variables de cercas
 - ~ X-variable del conglomerado
- La definición de cerca (y plena) depende de la geometría del encaje de la gráfica (en el caso clásico en un disco)
- También la noción de los viajes (girar a la derecha/izquierda) depende de la geometría (por lo tanto las perturbaciones)
- Gráficas plásticas parametrizan las celdulas de $\text{Gr}_{\text{un}}^{\text{tan}}(\mathbb{R})$, pero $\text{Gr}_{\text{un}}(\mathbb{C})$ contiene muchas más puntas que no podemos ver en las celdulas. Se $\text{Gr}_{\text{un}}^{\text{tan}}$.
 - ~ para entender la estructura de $\text{Gr}_{\text{un}}(\mathbb{C})$ tenemos que generalizar las gráficas

Ejemplo: Una gráfica plástica en un falso con 2 comp. frontales:



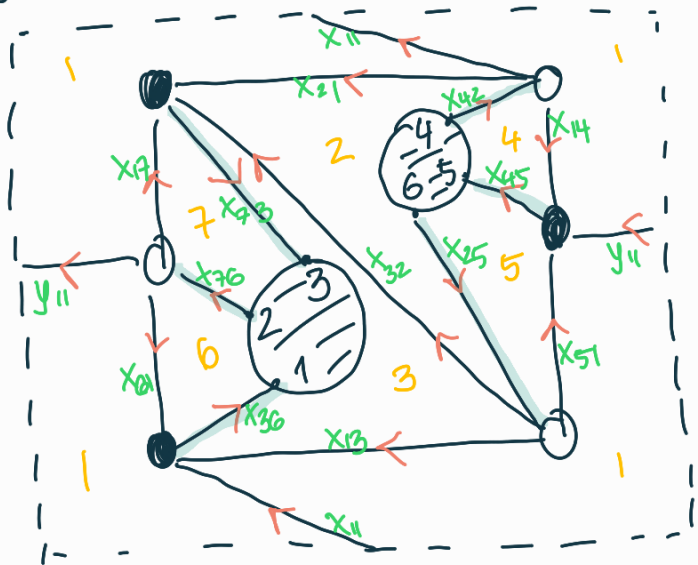
Ejercicio: G no tiene encaje en una superficie de Riemann con geno $g=0$.

Muchos resultados siguen válidos

① emparejamientos \leftrightarrow orient.-perfectos

② Mod G : $\mathbb{R}_{>0}^{F-1} \rightarrow \text{Gr}_m$ (ya no es tm!

Ejemplo una orientación perfecta con puentes $I = \{2, 4, 6\}$



$$M_{21} = x_{76} x_{61} x_{36}$$

$$M_{23} = x_{76} x_{17} x_{73}$$

$$M_{25} = x_{76} y_{11} x_{45}$$

$$M_{41} = x_{42} x_{11} x_{36}$$

$$M_{43} = x_{42} x_{21} x_{73}$$

$$M_{45} = x_{42} x_{14} x_{45}$$

$$M_{61} = x_{25} x_{13} x_{36}$$

$$M_{63} = x_{25} x_{32} x_{73}$$

$$M_{65} = x_{25} x_{51} x_{45}$$

$$A(N) = (a_{ij}) \quad a_{rj} = (-1)^{\#\{i \in I : i_r < i < j\}} M_{irj}$$

1 2 3 4 5 6

$$2 \begin{pmatrix} x_{76} x_{61} x_{36} & 1 & x_{76} x_{17} x_{73} & 0 & -x_{76} y_{11} x_{45} & 0 \\ x_{42} x_{11} x_{36} & 0 & x_{42} x_{21} x_{73} & 1 & x_{42} x_{14} x_{45} & 0 \\ x_{25} x_{13} x_{36} & 0 & x_{25} x_{32} x_{73} & 0 & x_{25} x_{51} x_{45} & 1 \end{pmatrix} = A(N) \notin \text{Gr}_{36}^{\text{un}}$$

$$\text{e.g. } \Delta_{123} = -M_{41}M_{63} + M_{43}M_{61} \notin \mathbb{R}_{>0}[x_{ij}]$$

$$\Delta_{124} = M_{63}$$

$$\Delta_{125} = -M_{41}$$

Variabes de coras & Co.

Dado un encaje $G \hookrightarrow (S, \partial)$ t.g. G es gráfica planar en S podemos introducir variables de las coras como antes:

- fijamos una orientación (perfecta) en G



- supongamos que G no tiene comp. ciclicas y definimos (como antes)

Nota: $\prod y_f = 1$
 $f \in G$
cara

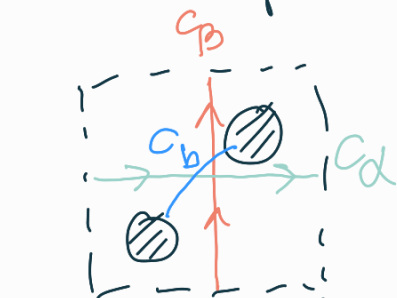
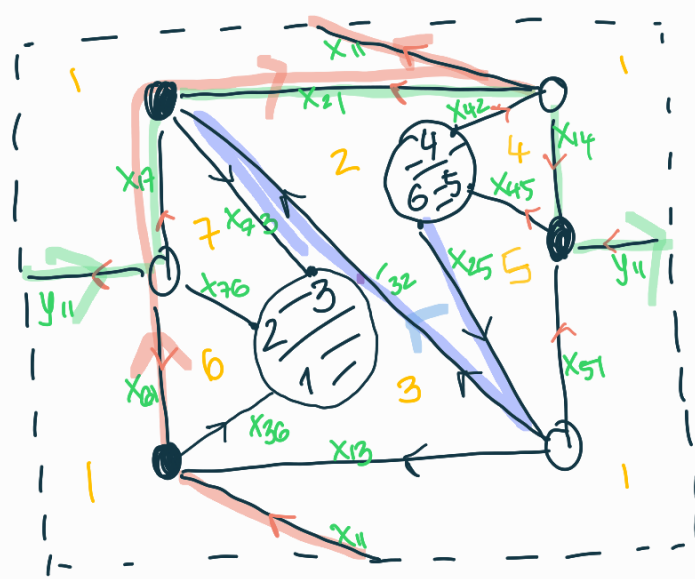
$$y_f = \frac{\prod x_e}{\text{e e d e}} \quad \text{e e d e} \\ \text{orientado,} \\ \text{con reloj}$$

$$\frac{\prod x_e^{-1}}{\text{e e d e}} \quad \text{e e d e} \\ \text{cara,} \\ \text{reloj}$$

Ademas necesitamos variables asociadas a ciclos fundamentales de S y coras entre las componentes de la frontera:

- para cada ciclo fundamental $C_a \in S$ escogemos un camino α en G isomorfo a C_a
- Si tenemos $B > 1$ componentes en la frontera de S (que intersectan G) escogemos $B-1$ caminos en G entre las componentes de la frontera.

Ejemplo:



asociemos caminos α, B, b en (G, ∂) y

sus variables correspondan a los caminos con resp. la orientación

$$\beta = x_{11} x_{61}^{-1} x_{17} x_{21}^{-1}$$

$$\alpha = y_{11}^{-1} x_{17} x_{21}^{-1} x_{14}$$

$$b = x_{25} x_{32} x_{73}$$

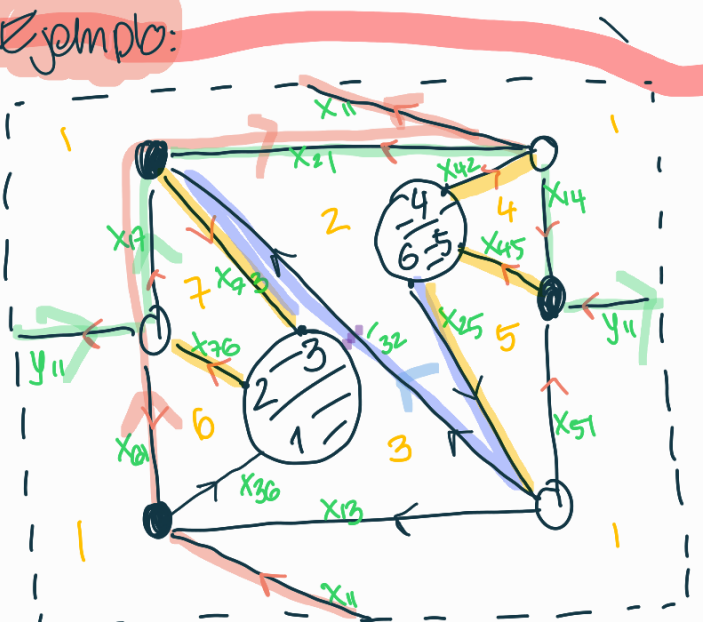
Ventaja: Las variables $\{y_f : f \text{ cara de } G\} / \pi y_e = 1$
 u $\{q_{di} : (\text{Cai}) \text{ base de ciclos fund. } S\}$
 u $\{e, b_i : \{C_{bi}\} \text{ corte de } \partial\}$

1502.0203 son linealmente independientes.

⇒ Son coordenadas (i.e. ver la parametrización) de la celula $\text{Med}_{(G, S)}((C^*)^d) = S_u \subset \text{Grun}(C)$

dónde $d = \dim S_u$ y $d = \dim_G \text{matroid}$
 (ya no es positroid!)

Ejemplo:



$$y_1 = \frac{x_{21}x_{61}x_{51}}{x_{13}x_{14}x_{17}}$$

$$\beta = \frac{x_{11}x_{17}}{x_{61}x_{21}}$$

$$y_6 = \frac{1}{x_{76}x_{61}x_{96}}$$

$$\alpha = \frac{x_{17}x_{14}}{y_{11}x_{21}}$$

$$b = x_{32}x_{73}x_{25}$$

$$y_3 = \frac{x_{13}x_{36}}{x_{73}x_{32}}$$

$$\tau = \begin{pmatrix} 1 & 2 & 3 & 4 & 5 & 6 \\ 4 & 5 & 6 & 2 & 1 & 3 \end{pmatrix}$$

$$M_{21} = y_6^{-1}$$

$$M_{23} = y_7$$

$$M_{25} = \alpha^{-1} \beta^{-1} y_7 y_2 y_4$$

$$M_{41} = \beta \cdot y_6^{-1} y_7^{-1} b y_2^{-1}$$

$$M_{43} = y_2^{-1} b$$

$$M_{45} = y_4$$

$$M_{61} = b y_3$$

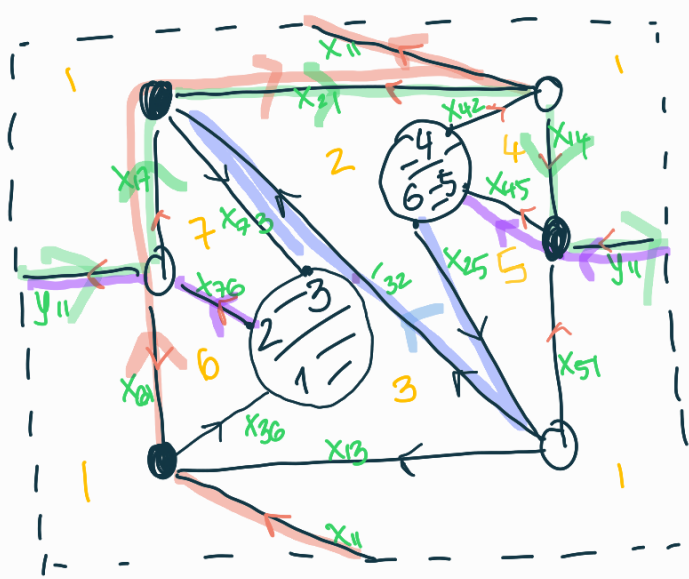
$$M_{63} = b$$

$$M_{65} = y_5^{-1}$$

$$M = \begin{pmatrix} 1 & 2 & 3 & 4 & 5 & 6 \\ y_6^{-1} & 1 & y_7 & 0 & -(b^{-1}) y_2 y_4 y_7 & 0 \\ \beta b (y_6 y_7 y_2)^{-1} & 0 & y_2^{-1} b & 1 & y_4 & 0 \\ b y_3 & 0 & b & 0 & y_5^{-1} & 1 \end{pmatrix}$$

$$\Delta_{123} = -b^2 \beta (y_6 y_7 y_2)^{-1} + b^2 y_2^{-1} y_3 = b^2 y_2^{-1} (y_3 - y_6 y_7)$$

Ejemplo: Consideremos M_{25} , existe un camino $P: b_2 \rightarrow b_5$



su peso en las caras es
 $wt(P) = x_{76}y_{11}^{-1}x_{45}$

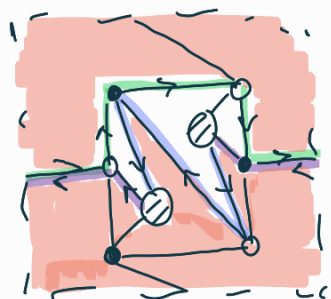
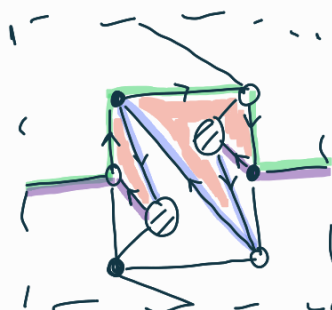
Observemos que P, a y b
(junto con componentes
en la frontera) cortan
la superficie en dos:

una parte con P, a, b en
su frontera orientado con el
reloj, y la otra contra:

El peso del camino
en las variables
de caras & co. es

$$wt(P) = a^{-1}b^{-1}y_2y_4y_7$$

caras con
 a, b, P en
su frontera orientada
con el reloj



$$= a^{-1}b^{-1}y_1^{-1}y_3^{-1}y_5^{-1}y_6^{-1}$$

caras con a, b, P
en su frontera orientadas
contra el reloj.

Ejercicio: Verifica M_{41} en las variables de caras & co.

Pregunta 1: ¿Qué tanto depende del encaje?

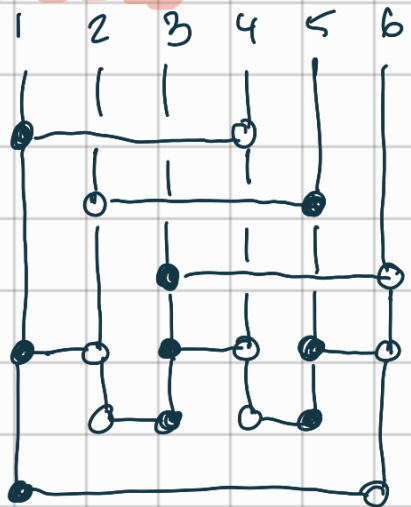
e.g. cambiando el encaje $G \hookrightarrow (S, \partial)$

¿cambia el matroide? Escribe una fórmula.

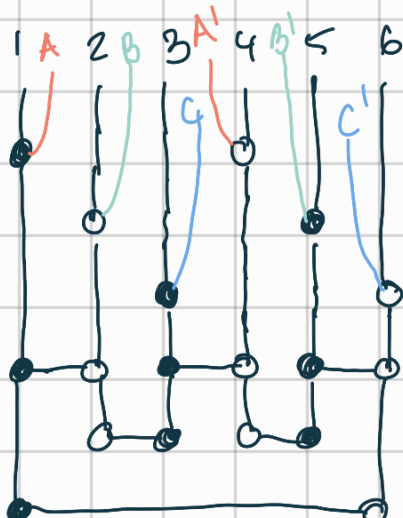
Conjetura: ¡NO!

$\text{Med}(G_S)(N) \sim \text{Med}(G_S)(N)$
def. topológicamente?

Ejemplo: La gráfica anterior coincide con la siguiente:

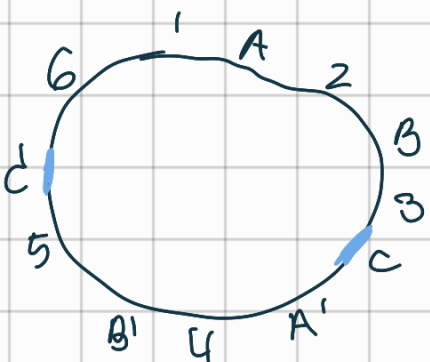


3 receta para encontrar un encaje:
"abriendo puentes"

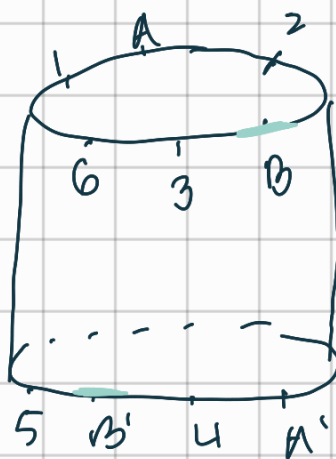


~ahora se puede
encajar en un
disc

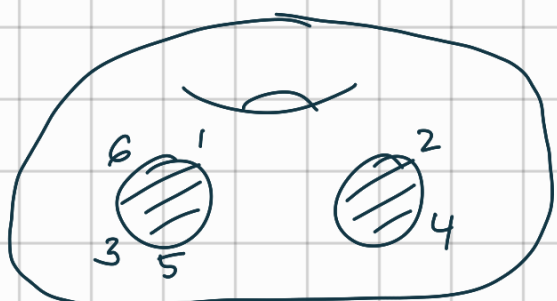
J₂₀ 1607.01781
axis



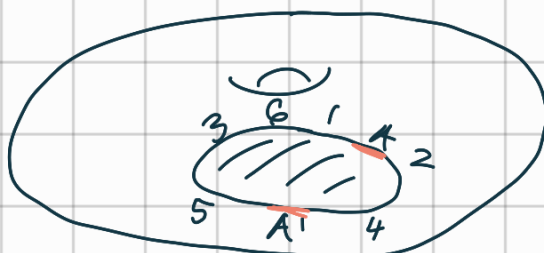
ahora
pegamos
C y C'



{ pegamos
B y B'



pegamos
A y A'



Ejercicio: Dibuja la gráfica en la superficie obtenida

y calcula su matriz de medida de frontera

¿Define el mismo punto en $Q(36)$?

¿Determina el mismo molde?

Pregunta 2: En 1607-1781 clasifican gráficas binoloreadas G que tienen encajes planos $G \hookrightarrow (S, \partial)$ a distintas superficies de Riemann con borde (S, ∂) que clasifican celulas ^{de dim^g en $Gr_{3,6}$ con importancia en la teoría de Super Yang-Mills. Dan una lista de 24 gráficas, una de ellas es plana y representar Gr_{36}^{tp} .}

- ① Determina un encaje para cada gráfica
- ② Determina la estructura de conglomerado de cada célula.
- ③ Matemáticamente, ¿qué clasifican las 24 gráficas?